

# 具有重新加速的银河宇宙线核的传播

张力 张鸣 木钧 喻传赞

(云南大学物理系,昆明, 650091)

## 摘 要

通过引入银河宇宙线在星际空间传播中的有效能量变化率, 获得了求解具有重新加速的银河宇宙线核的传播方程的一般方法——修正的厚板权重方法。并在漏箱模型中, 给出了计算的次级与原初之比和原初能谱与观测结果的比较。

## 一、引 言

银河宇宙线(GCR)加速和传播的研究是宇宙线物理学研究的主要课题之一。目前, 对GCR的加速和传播存在两种不同的观点: 其一认为GCR的加速仅发生于源区, 而在传播期间, 除与星际介质发生核相互作用外, GCR的能量变化仅由能损过程决定, 从而把加速与传播分离考虑、依此观点、已建立起了各种传播模型(如泄漏箱模型、扩散模型等)以及相应的GCR传播方程, 还发展了一个求解传播方程的方法, 即厚板权重方法<sup>[1]</sup>, 该方法与传播模型无关; 其二认为GCR不仅在其源区受到加速, 而且传播期间还经历重新加速过程, 于是传播期间GCR的能量变化由能损和重新加速导致的能量增益共同决定, 即能损率与重新加速率之间存在竞争。对GCR核而言, 在大于某个能量(该能量由能损率等于重新加速率确定)处有净能量增益, 目前人们大都是在某一特定的模型中考虑这种观点的(详见Cesarsky<sup>[2]</sup>和Berezinsky<sup>[3]</sup>的近期综述), 能否也发展一个与模型无关的求解具有重新加速的GCR传播方程呢? 这正是本文要解决的问题。

通过引入有效能量变化率, 我们获得了求解具有重新加速的GCR传播方程的处理方法, 把该方法称之为修正的厚板权重方法, 它与模型无关且在仅考虑能损时简化为厚板权重方法。本文使用该方法进行了有关的计算并与观测结果进行了比较。

## 二、传播方程及其解

由于GCR核在传播期间存在着能损和重新加速的竞争, 故其有效能量变化可由引入有效能量变化率 $W_{\text{eff}}(E)$ 来描述:

$$W_{\text{eff}}(E) = W_a(E) + W_i(E), \quad (1)$$

其中,  $E$  为粒子的能量;  $W_a$  和  $W_i$  分别是重新加速率和能损率。引入  $W_{\text{eff}}$  后, GCR 的

传播方程为

$$\frac{1}{\rho\beta(E)c} \frac{\partial J_i}{\partial t} - K\nabla^2 J_i + \frac{\partial}{\partial E} W_{\text{eff}} J_i + \frac{J_i}{\lambda_i} = Q(\mathbf{r}, E, t) + \sum_{j>i} \frac{J_j}{\lambda_{ji}} = Q', \quad (2)$$

其中,  $J_i$  是以位矢  $\mathbf{r}$ 、时间  $t$  和能量  $E$  为变量的第  $i$  类核的微分能谱,  $\beta(E)c$  是对应于  $E$  的核的速度;  $\rho$  是星际密度;  $K$  为空间扩散系数;  $\lambda_i$  为第  $i$  类核的核作用平均自由程;  $\lambda_{ji}$  是第  $j$  类核散裂成第  $i$  类核的平均自由程;  $Q$  为源项。

求解方程(2)之前, 先考虑  $W_{\text{eff}}(E)$  随能量的变化。对于 GCR 核而言, 能损为电离能损, 它随能量增加而迅速减小, 一般而言, 在大于  $2\text{GeV}/N$  动能区域, 该能损可略, 另一方面, 重新加速率随能量增加的变化比电离能损的变化慢, 故有: (1)  $E < E_b$  时,  $W_{\text{eff}} = -|W_{\text{eff}}|$ , 即该能区中 GCR 核有净能量损失; (2)  $E > E_b$  时,  $W_{\text{eff}} = |W_{\text{eff}}|$ , 即该能区 GCR 核有净能量增益 ( $W_e > W_i$ ), 其中,  $E_b$  是  $W_{\text{eff}} = 0$  时所确定的能量, 它表示在该能量处 GCR 核无能量变化。

方程(2)可由格林函数方法求解。对应于方程(2)的格林函数满足如下方程

$$\frac{1}{\rho\beta c} \frac{\partial G_i}{\partial t} - K\nabla^2 G_i + \frac{\partial}{\partial E} W_{\text{eff}} G_i + \frac{G_i}{\lambda_i} = \delta(\mathbf{r} - \mathbf{r}')\delta(E - E')\delta(t - t'). \quad (3)$$

为求解方程(3), 令

$$G_i = \frac{A}{W_{\text{eff}}} \exp\left(-\int_{E'}^E \frac{du}{W_{\text{eff}}(u)\lambda_i(u)}\right) \Phi(\mathbf{r}, E; \mathbf{r}', E')\delta(t - t'), \quad (4)$$

其中  $A$  待定, 令  $E < E'$  时  $A = A_1$ ,  $E > E'$  时  $A = A_2$ , 将(4)式代入(3)式, 有

$$-\frac{K}{W_{\text{eff}}} \nabla^2 A\Phi + \frac{\partial A\Phi}{\partial E} = \delta(\mathbf{r} - \mathbf{r}')\delta(E - E') \quad (5)$$

为定出  $A$ , 在  $E = E'$  的无穷小间隔内对方程(5)积分, 有

$$A_2\Phi(\mathbf{r}', E' + \varepsilon; \mathbf{r}', E') - A_1\Phi(\mathbf{r}, E' - \varepsilon; \mathbf{r}', E') = \delta(\mathbf{r} - \mathbf{r}'),$$

其中  $\varepsilon$  为无穷小量。上式中,  $\Phi(\mathbf{r}, E'; \mathbf{r}', E')$  表示传播期间 GCR 无能量变化的情况, 由(4)式及(5)式知  $\Phi(\mathbf{r}, E'; \mathbf{r}', E')$  为一正交函数, 于是有

$$A_2 - A_1 = 1 \quad (6)$$

当  $E < E'$  时,  $A_2 \equiv 0$ , 故有  $A = -H(E' - E)$ ; 而当  $E > E'$  时,  $A_1 \equiv 0$ , 有  $A = H(E - E')$ , 即

$$A = \begin{cases} -H(E' - E) & E < E', \\ H(E - E') & E > E', \end{cases} \quad (7a)$$

$$(7b)$$

其中, (7a) 式对应于有净能损失的能区, (7b) 式对应于有净能量增加的能区。  $H(E - E')$  为阶跃函数。

由格林函数方法, 有

$$J_i(\mathbf{r}, E) = \int_{E'} \int_{\mathbf{r}'} \int_{t'} G_i(\mathbf{r}, E, t; \mathbf{r}', E', t') \left( Q_i(\mathbf{r}', E', t') + \sum_{j>i} \frac{1}{\lambda_{ji}(E')} J_j(\mathbf{r}', E', t') \right) dE' dt' d\mathbf{r}'. \quad (8)$$

为了方便, 我们处理原初 GCR 核的传播, 即上式中圆括号内第二项(次级产生项)可略。假定  $Q_i(\mathbf{r}', E') = q_i(E')\chi(\mathbf{r}', t')$ , 并用下标  $P$  代替下标  $i$ , 则有

$$J_p = \frac{1}{W_{\text{eff}}(E)} \int_E^{E_b} dE' q_p(E') \exp\left(-\int_{E'}^E \frac{du}{W_{\text{eff}}(u)\lambda_p(u)}\right) P(\mathbf{r}, E, E'), \quad E' > E, \quad (9a)$$

$$J_p = \frac{1}{W_{\text{eff}}(E)} \int_{E_b}^E dE' q_p(E') \exp\left(-\int_{E'}^E \frac{du}{W_{\text{eff}}(u)\lambda_p(u)}\right) P(\mathbf{r}, E, E'), \quad E > E', \quad (9b)$$

其中

$$P(\mathbf{r}', E, E') = \int d^3\mathbf{r}' \Phi(\mathbf{r}, E; \mathbf{r}', E') \chi(\mathbf{r}', t'). \quad (9c)$$

考虑到  $E' > E$  时,  $W_{\text{eff}} = -|W_{\text{eff}}|$ ;  $E > E'$  时,  $W_{\text{eff}} = |W_{\text{eff}}|$ , 则 (9a) 和 (9b) 式可合写成

$$J_p = \frac{1}{|W_{\text{eff}}|} \int_{E_b}^E dE' q_p(E') \exp\left(-\int_{E'}^E \frac{du}{W_{\text{eff}}(u)\lambda_p(u)}\right) P(\mathbf{r}, E, E') \quad (E \neq E_b). \quad (10)$$

为了获得与厚板权重方法相同的数学形式, 引入如下变量

$$x = \int_{E'}^E \frac{du}{W_{\text{eff}}(u)} = \rho\beta c(t - t'), \quad (11a)$$

$$y = \int_{E'}^E du \frac{K(u)}{W_{\text{eff}}(u)}, \quad (11b)$$

则方程(5)变成

$$\nabla^2 A\Phi - \frac{\partial A\Phi}{\partial y} = \delta(y)\delta(\mathbf{r} - \mathbf{r}'), \quad (12)$$

方程(12)满足与方程(5)相同的边界条件。考虑到  $dx' = -dE'/W_{\text{eff}}(E')$ , 则方程(10)可写成

$$J_p(\mathbf{r}, E) = \int_0^{x_0} dx J_p(E, x) P(\mathbf{r}, x, E) \quad (13)$$

其中

$$x_0 = \int_{E_b}^E du/W_{\text{eff}}(u), \quad (14a)$$

$$P(\mathbf{r}, x, E) = \int d^3\mathbf{r}' \Phi(\mathbf{r}, \mathbf{r}', y) \chi(\mathbf{r}', \rho\beta c t - x), \quad (14b)$$

$$J_p(E, x) = \frac{W_{\text{eff}}(E')}{|W_{\text{eff}}(E)|} q_p(E') \exp\left(-\int_0^x \frac{dx'}{\lambda_i}\right), \quad (14c)$$

$P(\mathbf{r}, x, E)$  是程长分布, 一般而言, 不同的 GCR 传播模型有不同的程长分布, 计及 (14a)–(14c) 式的(13)式就是所需的解, 可以看出, 这种求解方法具有普适性且类似于厚板权重方法, 我们称该法为修正的厚板权重方法。

下面说明厚板权重方法只是修正的厚板权重方法的一个特例。若 GCR 核的传播中仅计及电离能损 ( $W_{\text{eff}} = W_p$ ), 则  $E_b \rightarrow \infty$ , 导致  $x_0 \rightarrow \infty$ , 注意到在此考虑下

$$x = \int_{E'}^E du/W_p(u),$$

则有

$$J_p(\mathbf{r}, E) = \int_0^\infty dx J_p(E, x) P(\mathbf{r}, x, E), \quad (15a)$$

$$J_p(E, x) = \frac{W_p(E')}{W_p(E)} q_p(E') \exp\left(-\int_0^x \frac{dx'}{\lambda_i}\right), \quad (15b)$$

其中程长分布的形式与(14b)式相同, (15a)和(15b)正是由厚板权重方法获得的结果。

上面给出了处理原初 GCR 核的修正的厚板权重方法, 对于更为一般的情况, 即 GCR 核不仅在源区产生, 而且在传播期间还有散裂产生的情况((8)式中圆括号内第二项不可略), 上面的处理方法仍适用, 此时, 只需使

$$q_p(E') \rightarrow q_i(E') + \sum_{i>p} \frac{1}{\lambda_{ii}} J_i(E', r'),$$

同时, 把下标 P 都换成 i 即可, 其中  $J_i$  就是原初 GCR 核之微分通量。

### 三、计算实例和与观测的比较

作为所给出的方法的应用, 考虑程长分布为一指数情况(即泄漏模型)

$$P(x, E) = \exp\left(-\int_0^x \frac{dx'}{\lambda_e}\right) \quad (16)$$

其中  $\lambda_e$  为平均逃逸程长。在此考虑下, 计算了 GCR 的稳定核的次级与原初之比以及原初 GCR 的能谱。

在计算程序中, 需涉及如下物理量。(1) 星际介质的平均质量  $\langle m \rangle$ , 取星际介质为纯氢介质; (2) 总非弹性截面  $\sigma_i(\lambda_i = \langle m \rangle / \sigma_i)$ , 采用了文献[4]给出的经验公式; (3) 散裂截面  $\sigma_{ii}(\lambda_{ii} = \langle m \rangle / \sigma_{ii})$ , 利用了文献[5]给出的最新测量结果, 并依此拟合了一个经验公式; (4) 电离能损率, 采用了 Beth 公式; (5) 重新加速率  $W_s$ , 考虑了  $W_s = E/\lambda_s$  的情况, 其中  $E$  为核的功能,  $\lambda_s$  为平均加速程长且满足<sup>[3]</sup>

$$\lambda_e \cdot \lambda_s = \text{常数}; \quad (17)$$

(6) 源项, 根据超新星爆发的扩散激波加速理论<sup>[6]</sup>, 取  $q_p(p') = q_{0p} p'^{-\gamma_0}$ , 其中  $p'$  为源处核的动量,  $\gamma_0$  为源谱指数且  $\gamma_0 = 2.1$ , 源丰度取自文献[7]; (7) 太阳调制参数  $\varphi$ , 使用力-场近似来描述太阳对 GCR 的调制, 并取  $\varphi = 600 \text{ MV}$ 。

在以上考虑下, 分别计算了 B/C 比, V/Fe 比以及 O 谱和 Fe 谱, 并与观测结果(其中, B/C 比的测量数据取自文献[8], V/Fe 比的数据取自文献[9], O 谱及 Fe 谱的数据

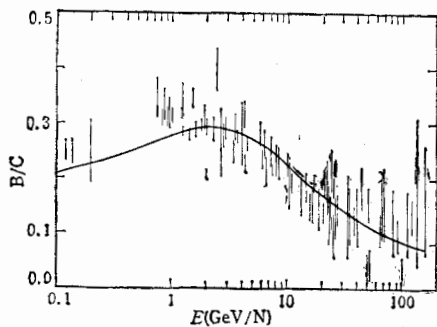


图 1 计算的 B/C 比与观测数据的比较

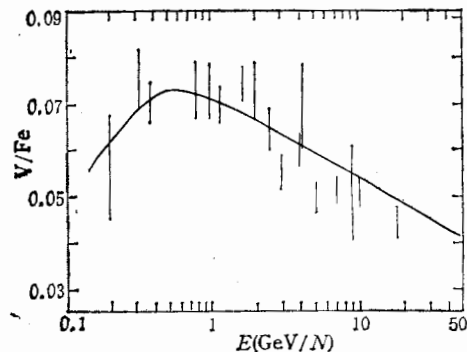


图 2 计算的 V/Fe 比与观测数据的比较

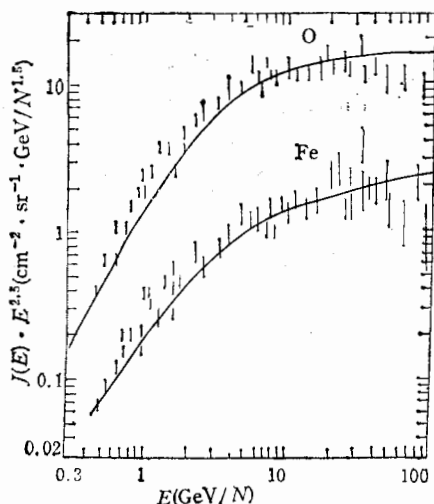


图3 计算的O能谱和Fe能谱与观测数据的比较

取自文献[10,11]进行了比较,见图1、2和3。作为与观测结果的最佳拟合,获得

$$\lambda_e = \begin{cases} 6.33R^{-\frac{1}{2}} & R \geq 1\text{GV} \\ 6.33 & R < 1\text{GV}; \end{cases} \quad (18a)$$

$$\lambda_a = \begin{cases} 3.16R^{\frac{1}{2}} & R \geq 1\text{GV} \\ 3.16 & R < 1\text{GV}. \end{cases} \quad (18b)$$

可以看出,  $\lambda_e \cdot \lambda_a = 20$ 。其中  $R$  为粒子的刚度。

需指出的是,由于  $E_b$  由  $W_{\text{eff}}(E_b) = 0$  确定,而  $W_i$  与所考虑的核的质量数和电荷数有关,故对不同的核有不同的  $E_b$  值。

#### 四、结论和讨论

我们获得了求解计及重新加速的 GCR 核传播方程的方法——修正的厚板权重方法,该方法与传播模型无关且厚板权重方法只是修正的厚板权重方法在  $W_{\text{eff}} = W_i$  时的一个特例。从数学形式上看,它们是相同的,然而,这两种方法的物理图象并不相同,修正的厚板权重方法表明,对任一给定能量  $E$  观测到的 GCR 核,当  $E < E_b$  时,它由  $E$  到  $E_b$  能区的 GCR 核产生,而  $E > E_b$  时,由  $E_b$  到  $E$  能区的 GCR 核产生;而厚板权重方法则表明观测到的能量为  $E$  的 GCR 核由大于  $E$  能区的 GCR 核产生。

GCR 核在星际空间传播中经历重新加速的观点正得到人们的广泛承认。近期, Berezhinsky<sup>[3]</sup> 指出, GCR 通过扩散而传播,当 GCR 粒子与磁流体波共振散射时,则自然地导致 GCR 粒子在传播期间经历重新加速过程,该加速的一个特点是平均逃逸时间与加速时间之积为一常数,关于此, Schlickeiser<sup>[12]</sup> 也由其导出的基本的宇宙线传播方程获得了该结论,也可见文献[13]。为此,在本文的实例计算中,采用了该观点,与不考虑重新加速的情况 ( $\lambda_e \propto R^{-0.6-0.7}$ ) 相比,计及重新加速后,平均逃逸程长随能量的变化减弱(见

(18a)式), 这有助于解决同时解释各种 GCR 粒子的能谱形状及各向异性的观测结果所出现的问题。

Giler 等<sup>[14]</sup>引入平均逃逸时间为常数的唯象模型, 较好地解决了上面提到的问题, 在他们的模型中, 不仅较好地拟合了次级与原初之比随能量而减少的观测结果, 同时也较好地解释了直到  $10^{14}$ eV 能区几乎恒定的各向异性度的观测结果。然而, 他们在利用  $W_{\text{eff}}(E_b) = 0$  求出  $E_b$  后, 只计及重新加速率(即令  $W_{\text{eff}} = W_s$ ), 我们认为在较低能处这种近似不太合理。

本文的计算工作是在云南大学计算中心的 VAX8350 机上完成的, 特此致谢。

### 参 考 文 献

- [1] Letaw, J. R., et al., *Astrophys. J. Suppl.*, **56**(1984), 369.
- [2] Cesarsky, C. J., 20th *ICRC Rapporteur Talk*, **8**(1987), 87.
- [3] Berezhinsky, V. S., 21th *ICRC Rapporteur Talk*, **11**(1990), 115.
- [4] Letaw, J. R., et al., *Astrophys. J. Suppl.*, **51**(1983), 271.
- [5] Webber, W. R., et al., *Phys. Rev. C*, **41**(1990), 533.
- [6] Drury, LOC, *Prog. Phys.*, **46**(1983), 973.
- [7] Simpson, J. A., *Ann. Rev. Nucl. Part. Sci.*, **33**(1983), 323.
- [8] Heinbach, U. and Simon, M., 21th *ICRC*, **3**(1990), 361.
- [9] Wiedenbeck, M. E., 21th *ICRC*, **11**(1990), 57.
- [10] Simon, M., et al., *Astrophys. J.*, **300**(1986), 32.
- [11] Tang, K. K., 21th *ICRC*, **3**(1990), 373.
- [12] Schlickeiser, R., *Astrophys. J.*, **336**(1989), 243.
- [13] 张力, 喻传赞, *天体物理学报*, **11**(1991), 111.
- [14] Giler, M., et al., *Astron. Astrophys.*, **217**(1989), 311.

## Propagation of Cosmic-Ray Nuclei with Reacceleration

ZHANG LI    ZHANG MING    MU JUN    YU CHUANZAN

(Department of Physics, Yunnan University, Kunming 650091)

### ABSTRACT

Introducing effective energy change rate of galactic cosmic ray (GCR) during interstellar propagation, we obtain a general method of solving the propagation equation of GCR nuclei-modified slab weighted method. In the leaky box model, we give comparisons of calculated ratios of secondary and primary nuclei and primary energy spectra with observed results.